

**ПРИЛОЖЕНИЕ МЕТОДА ЧАСТИЧНЫХ ОБЛАСТЕЙ К РАСЧЕТУ
ГИДРОАКУСТИЧЕСКОГО ВОЛНОВОДА СО СТУПЕНЧАТЫМ ДНОМ**
Папкова Ю.И., Папков С.О. к. ф.-м.н., Ярошенко А.А. к. ф.-м.н.
Севастопольский национальный технический университет

Для гидроакустического волновода с подводным выступом на основе метода частичных областей проводится анализ энергетических характеристик. Исследуется зависимость среднего потока мощности от высоты подводного выступа, трансформация потока энергии из внутренней области над выступом в энергию нормальных мод во внешней области.

ВВЕДЕНИЕ

При теоретическом анализе звуковых полей в акустических волноводах широкое применение получил метод частичных областей [1], с помощью которого соответствующие задачи сводятся к решению бесконечной системы линейных алгебраических уравнений или к системе интегральных уравнений. Наличие изломов, угловых точек и ребер границ волноводов позволяет эффективно решить бесконечную систему в силу того, что асимптотика неизвестных находится благодаря априорно известному характеру особенности вблизи угла.

Аналитическая форма решения, обеспеченная использованием метода частичных областей, позволяет значительно упростить исследование энергетических характеристик звукового поля. В частности, в статье [2] рассмотрена трансформация энергии падающей волны в составном упругом волноводе, в статье [3] - энергетические характеристики падающей, отраженных и прошедших волн через зону сопряжения плоского и клиновидного волновода.

В статье авторов [4] методом частичных областей строится решение задачи о звуковом поле в неоднородном гидроакустическом волноводе со ступенчатым дном. Там же, в качестве численного примера, исследовался волновод с выступом.

Целью данной работы является исследование энергетических характеристик прохождения звуковой волны для волновода с выступом.

ПОСТАНОВКА И ПОСТРОЕНИЕ РЕШЕНИЯ ЗАДАЧИ

На рис. 1 изображен гидроакустический волновод, имеющий подводный выступ с радиальной симметрией, над центром которого расположен точечный гармонический источник звука. Согласно методу частичных областей разобьем волновод на две области, определяемых скоростью звука $c_j(z)$ и постоянной глубиной h_j , плотность жидкости ρ полагаем постоянной в обеих областях. Распространение звуковых волн описывается неоднородным уравнением Гельмгольца:

$$\Delta\Phi + \frac{\omega^2}{c^2(z)}\Phi = -\frac{\delta(z - z_0)\delta(r)}{2\pi r}, \quad (1)$$

где Φ - потенциал скоростей; ω - частота; $c(z)$ - профиль скорости звука; δ - дельта функция Дирака.

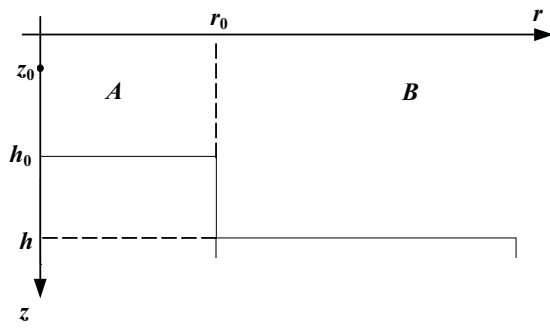


Рис.1. Гидроакустичний волновод с виступом

Положим, что поверхность волновода является акустически мягкой, а дно – акустически жестким:

$$\Phi(r,0) = 0; \quad \left. \frac{\partial \Phi}{\partial \vec{n}} \right|_L = 0,$$

где L – кривая, определяющая форму дна.

Решение для волновода со ступенчатым дном строится [4] в виде суммы нормальных мод в каждой из частичных областей. Для волновода с одним выступом общее решение имеет следующий вид:

$$\Phi_A = \frac{i}{4} \sum_{n=0}^{\infty} \frac{\varphi_{A,n}(z_0) \varphi_{A,n}(z)}{\gamma_{A,n}} H_0^{(1)}(\xi_{A,n} r) + \sum_{n=0}^{\infty} A_n \varphi_{A,n}(z) J_0(\xi_{A,n} r), \quad (2)$$

$$\Phi_B = \sum_{n=0}^{\infty} B_n \varphi_{B,n}(z) H_0^{(1)}(\xi_{B,n} r). \quad (3)$$

где $\gamma_{A,n} = \int_0^{h_0} (\varphi_{A,n}(s))^2 ds$; $\xi_{A,n}$, $\varphi_{A,n}$, $\xi_{B,n}$, $\varphi_{B,n}$ – собственные числа и функции

соответствующих задач Штурма-Луивилля:

$$\begin{aligned} \varphi_A'' + \left(\frac{\omega^2}{c^2(z)} - \xi^2 \right) \varphi_A &= 0, \quad \varphi_A(0) = 0, \varphi_A'(h_0) = 0; \\ \varphi_B'' + \left(\frac{\omega^2}{c^2(z)} - \xi^2 \right) \varphi_B &= 0, \quad \varphi_B(0) = 0, \varphi_B'(h) = 0. \end{aligned} \quad (4)$$

Алгоритм построения собственных чисел и функций краевых задач (4) для кусочно-заданного профиля скорости звука $c(z)$ описан в [4].

Использование нормальных мод позволяет выполнить граничные условия на горизонтальных стенках волновода и условие излучения точно. Из условий непрерывности звукового поля на границах раздела частичных областей $r = r_0$:

$$\Phi_A(r_0, z) = \Phi_B(r_0, z), \quad z \in [0; h_0]; \quad \frac{\partial \Phi_B}{\partial r}(r_0, z) = \begin{cases} \frac{\partial \Phi_A}{\partial r}(r_0, z), & z \in [0; h_0] \\ 0, & z \in [h_0; h] \end{cases},$$

получаем бесконечную систему линейных алгебраических уравнений относительно неопределенных коэффициентов $\{A_n\}$ и $\{B_n\}$ в представлении потенциала скоростей (2-3)

$$\begin{cases} -\frac{1}{\gamma_{B,m}} \sum_{n=0}^{\infty} I_{m,n}^1 \cdot x_n + y_m - \frac{1}{\gamma_{B,m}} \sum_{n=0}^{\infty} I_{m,n}^2 \cdot y_n = Q_m^1 \\ -\frac{1}{\xi_{B,m} \gamma_{B,m}} \sum_{n=0}^{\infty} I_{m,n}^1 \cdot \xi_{A,n} \frac{J_1(\xi_{A,n} r_0)}{J_0(\xi_{A,n} r_0)} x_n + \frac{H_1^{(1)}(\xi_{B,m} r_0)}{H_0^{(1)}(\xi_{B,m} r_0)} y_m = Q_m^2 \end{cases}, \quad (5)$$

$$m = 0, 1, 2 \dots$$

где $x_n = A_n J_0(\xi_{A,n} r_0)$; $y_n = B_n H_0^{(1)}(\xi_{B,n} r_0)$, $\gamma_{B,n} = \int_0^h (\varphi_{B,n}(s))^2 ds$,

$$Q_m^1 = \frac{i}{4\gamma_{B,m}} \sum_{n=0}^{\infty} \frac{\varphi_{A,n}(z_0)}{\gamma_{A,n}} I_{m,n}^1 \cdot H_0^{(1)}(\xi_{A,n} r_0); \quad Q_m^2 = \frac{i}{4\gamma_{A,m}\xi_{A,m}} \sum_{n=0}^{\infty} \frac{\varphi_{A,n}(z_0)}{\gamma_{A,n}} I_{m,n}^1 \cdot \xi_{A,n} H_1^{(1)}(\xi_{A,n} r_0).$$

Интегралы $I_{m,n}^1 = \int_0^{h_0} \varphi_{A,n} \varphi_{B,m} dz$; $I_{m,n}^2 = \int_{h_0}^h \varphi_{B,n} \varphi_{B,m} dz$, в случае совпадающего в частичных областях профиля скорости звука вычисляются точно интегрированием по частям:

$$I_{m,n}^1 = \frac{\varphi'_{B,m}(h_0) \varphi_{A,n}(h_0)}{\xi_{B,m}^2 - \xi_{A,n}^2}; \quad I_{m,n}^2 = \frac{\varphi_{B,m}(h_0) \varphi'_{B,n}(h_0) - \varphi'_{B,m}(h_0) \varphi_{B,n}(h_0)}{\xi_{B,m}^2 - \xi_{B,n}^2}, \quad m \neq n.$$

Из условий на ребре волновода в статье [4] найден характер асимптотического поведения неизвестных в бесконечной системе (5):

$$x_n = \frac{a_0(-1)^n}{n^{5/3}} + O\left(\frac{1}{n^2}\right), \quad y_n = \frac{b_0 \sin\left(\frac{\pi h_0}{h_1}(n+1/2) - \frac{\pi}{3}\right)}{n^{5/3}} + O\left(\frac{1}{n^2}\right), \quad n \rightarrow \infty, \quad (6)$$

который позволяет использовать для определения неизвестных метод улучшенной редукции. Кроме того, асимптотический закон (6) позволяет провести улучшение сходимости рядов для потенциала и колебательной скорости на границах раздела частичных областей. При этом локальная особенность в поведении колебательной скорости вблизи кромки акустически жесткого тела оказывается заключенной в аналитически свернутых остатках рядов, что дает возможность для описания звукового поля в непосредственной близости от ребра.

Полученное аналитическое решение позволяет также исследовать энергетические характеристики распространения звука. Средний поток мощности от источника в области над выступом (A) через сечение $r = r_0$ есть сумма средних потоков мощности каждой из нормальных мод

$$w_A = \frac{\omega\rho}{2} \sum_{n=0}^{N_A} \frac{\varphi_{A,n}(z_0) \xi_{A,n}}{4} (J_1(\xi_{A,n} r_0) Y_0(\xi_{A,n} r_0) - J_0(\xi_{A,n} r_0) Y_1(\xi_{A,n} r_0)) \left(\frac{\varphi_{A,n}(z_0)}{4\gamma_{A,n}} + \text{Im } A_n \right) + \\ + \frac{\omega\rho}{4\pi} \sum_{n=N_A+1}^{\infty} \varphi_{A,n}(z_0) |\xi_{A,n}| \text{Im } A_n (K_0(|\xi_{A,n}| r_0) I_1(|\xi_{A,n}| r_0) + K_1(|\xi_{A,n}| r_0) I_0(|\xi_{A,n}| r_0)), \quad (7)$$

где $N_A + 1$ – число распространяющихся нормальных волн области над выступом. Средний поток мощности области без выступа (B), подводимый через сечение $r = r_0$, есть сумма средних потоков мощности распространяющихся нормальных волн:

$$w_B = \frac{\omega\rho}{2} \sum_{n=0}^{N_B} |B_n|^2 \gamma_{B,n} \xi_{B,n} (J_1(\xi_{B,n} r_0) Y_0(\xi_{B,n} r_0) - J_0(\xi_{B,n} r_0) Y_1(\xi_{B,n} r_0)), \quad (8)$$

где $N_B + 1$ – число распространяющихся нормальных волн области без выступа.

Согласно закону сохранения энергии следует равенство:

$$\frac{w_B}{w_A} = 1,$$

которое может служить критерием точности решения бесконечной системы линейных алгебраических уравнений (5).

АНАЛИЗ ЧИСЛЕННЫХ РЕЗУЛЬТАТОВ

Формулы (7-8) позволяют провести расчеты потоков энергии в сечении волновода $r = r_0$ для каждой из частичных областей, что дает возможность исследовать

трансформацию звуковой волны, прошедшей через зону сопряжения, в нормальные волны области без выступа.

В табл.1 приведены коэффициенты возбуждения нормальных волн области без выступа $W_n = \frac{w_{B,n}}{w_A}$ ($n = 0,1,\dots,N_B$) в зависимости от отношения глубин в частичных областях волновода h_0/h при фиксированной безразмерной частоте Ω ($\Omega = \omega h/c_{cp}$). Характерные размеры волновода принимались равными следующим значениям: $c = 1480$ м/с; $z_0 = 0,1h$, $r_0 = 2h$, $h = 100$ м, $\Omega = 5$. При таких параметрах волновода в области без выступа (B) существуют две распространяющиеся моды. Количество распространяющихся нормальных волн области над выступом (A) зависит от отношения h_0/h и частоты Ω . Для постоянного профиля скорости звука имеется конечное число

$$N_A = \left[\frac{h_0\Omega}{h\pi} - \frac{1}{2} \right]$$

([x] – целая часть действительного числа x) незатухающих мод, соответствующих вещественным собственным значениям.

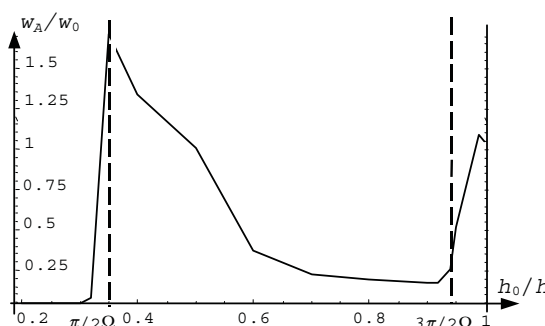
Табл. 1.

Зависимость коэффициентов возбуждения нормальных волн от отношения h_0/h

h_0/h	0,99	0,95	0,94	0,92	0,9	0,8	0,7	0,6	0,5	0,4	0,3	0,2
W_0	0,09	0,25	0,60	0,96	0,96	0,62	0,33	0,17	0,11	0,08	0,10	0,06
W_1	0,91	0,75	0,40	0,04	0,04	0,38	0,67	0,83	0,89	0,92	0,90	0,94

Из данных табл. 1 следует, когда параметр h_0/h находится в диапазоне $0,8 \leq h_0/h \leq 0,94$ большую энергию несет нулевая нормальная волна, которая по величине превосходит первую. По мере приближения выступа к границам волновода ($h_0/h > 0,94$ и $h_0/h < 0,8$) пропорционально увеличивается влияние первой нормальной волны и соответственно снижение нулевой.

Для оценки влияния выступа на прохождение звуковой волны на рис. 2 представлен график изменения величины w_A/w_0 (w_0 – средний поток мощности от источника через сечение $r = r_0$ для идеального волновода глубины h) в зависимости от размеров h_0/h .

Рис. 2. Зависимость изменения величины w_A/w_0 от отношения h_0/h

При определенных размерах $\frac{h_0}{h} = \frac{\pi}{2\Omega}$ и $\frac{h_0}{h} = \frac{3\pi}{2\Omega}$ частота распространения звука оказывается резонансной для области над выступом (A). Анализ спектра данной области показал, что при условии $\frac{h_0}{h} < \frac{\pi}{2\Omega}$ существуют только затухающие моды, в случае

$\frac{\pi}{2\Omega} < \frac{h_0}{h} < \frac{3\pi}{2\Omega}$ - одна распространяющиеся нормальная волна, когда $\frac{h_0}{h} > \frac{3\pi}{2\Omega}$ - две

распространяющихся волны. При этом, если в области над выступом присутствуют только затухающие нормальные волны, энергия, подводимая к границе частичных областей, оказывается достаточно малой, а с уменьшением глубины h_0 она практически равна нулю (в случае $h_0/h \leq 0,2$ отношение $w_A/w_0 \approx 10^{-10}$). Таким образом, несмотря на то, что во внешней области волновода всегда существуют две распространяющиеся моды, можно говорить об эффекте «запирания» волновода. Из рис. 2 также следует, что добавление распространяющейся моды в области (A) приводит к увеличению w_A/w_0 .

ЛІТЕРАТУРА

1. Гринченко В.Т., Вовк И.В. Волновые задачи рассеяния звука на упругих оболочках. К.: Наукова думка, 1986. – 240с.
2. Городецкая Н.С. Трансформация энергии падающей волны на границе раздела в составном волноводе // Акуст. вісн. – 2001. – Т.4., №1. – С. 17-25.
3. Мацыпуря В.Т. Прохождение звука через область сопряжения плоского и клиновидного волноводов // Акуст.вісн. – 1999. – Т.2, № 1. – С. 31 – 41.
4. Папков С.О., Папкова Ю.И., Ярошенко А.А. Звуковое поле в неоднородном гидроакустическом волноводе со ступенчатым дном // Акуст.вісн. – 2003. – Т.6, № 1. – С. 32 – 42.